

## مطالعه رسوبات دریایی حاشیه تیس و حاشیه گندوانا در مناطق مختلف ایران

سکینه عارفی‌فرد\*

دانشگاه لرستان، دانشکده علوم، گروه زمین‌شناسی

sarefi@hotmail.com\*

دریافت: ۹۱/۹/۲۸ پذیرش: ۹۲/۴/۱۰

### چکیده

گسترش فونای فوزولینید در مناطق مختلف ایران حاکی از حضور مجموعه فوزولینیدهای آب‌های گرم مربوط به حاشیه تیسی (Peri-Tethyan) و مجموعه فوزولینیدهای شاخص آب‌های سرد یا خنک حاشیه گندوانایی (Peri-Gondwanan) می‌باشد. در مناطق البرز، بخش عمده‌ای از ایران مرکزی، آباده و جلفا جنس‌ها و گونه‌هایی از verbeekinids و neoschwagerinids حضور دارند که به لحاظ پالئوبیوژوگرافی فوزولینیدها، قرابت آن‌ها را با قلمرو حاشیه تیسی نشان می‌دهد. تنوع فونای فوزولینید آب‌های گرم در مناطق آباده و جلفا در مقایسه با البرز و ایران مرکزی بیشتر بوده و به نظر می‌رسد این مناطق عرض‌های جغرافیایی پایین‌تری را در قلمرو تیس اشغال کرده بودند. ناحیه کلمرد در ایران مرکزی با دارا بودن فونای فوزولینید زون آنتی‌تروپیکال جنوبی مشخص کننده فونای مربوط به آب‌های سرد یا خنک حاشیه گندوانا است. منطقه زاگرس در فاصله زمانی کوبرگندین تا میدین زیرین در یک کمریند آب و هوایی معتدل بوده و تنها در میدین میانی- انتهایی این منطقه به استوا نزدیکتر شده است.

**واژه‌های کلیدی:** رسوبات دریایی، حاشیه تیس، حاشیه گندوانا، ایران

### مقدمه

HASHIYE TIES YAZDEHAN

Hashiye ties ya pery ties wazn behand. Hemchin fonyai donin Iran mabahet havi ra ba navahi nezir eropayi gribi o plafurm rossieh ra nshan mi dded [48]. Matalheh رسوبات کربنیفر بالایی و پرمین زیرین ایران در ایران مرکزی بیانگر قرابت مجموعه فونای فوزولینید این ناحیه با اروپای شرقی و پالئوتیس نظیر دارواز (شمال‌غرب پامیر)، فرگانا (شرق ازبکستان) و کارنیک آلپ (رشته کوه‌های آلپ شرقی) است [35 و 37]. بررسی سایر فونا نظیر کرینوئیدها [62] و برکیوپودها و پالینومرف‌های پرمین زیرین سازند دورود در شمال ایران نشان دهنده قرابت زیاد این فوناها با فونای همزمان خود در موقعیت استوایی قدیمی (اورال، پلاتفرم روسیه و کارنیک آلپ و بورو آمریکا) دارد و در عین حال اختلافات زیادی را با فونای همزمان خود در نواحی حاشیه گندوانا نظیر غرب استرالیا، هندوستان، کراکوروم (ادامه جنوب شرقی رشته کوه‌های هندوکش)، افغانستان مرکزی، شرق و جنوب افريقا دارند [8]. هدف اين مطالعه ابتدا بررسی داده‌های بيواستراتيگرافي قدیم و جدید رسوبات کربنیفر و پرمین براساس فونای فوزولینید در مناطق مختلف البرز، زاگرس

TAKEHON MATELAAT BIOWASTRATIGRAFI MATEGDI BR ROI رسوبات پرمین در مناطق مختلف ایران صورت گرفته است و تعیین سن‌های ارائه شده برای این رسوبات عمدتاً بر اساس فونای مختلف فسیلی نظیر فوزولینید، کنودونت، برکیوپود، سفالوپود و پالینومروف بوده است [1، 20، 25 و 56]. مناطق البرز، زاگرس و ایران مرکزی همیشه با قرابت گندوانایی در نظر گرفته شده‌اند و برای آن چندین دلیل در نظر گرفته شده است: ۱) زیربنای قبل از پالئوزوئیک ایران تصور می‌شود که به سیکل کوهزایی کاتانگایی مربوط باشد. ۲) سنگ‌های رسوبی پالئوزوئیک ایران به ویژه پالئوزوئیک زیرین شباهت زیادی به عربستان، عراق، جنوب تركیه، پاکستان، افغانستان مرکزی، اردن و سوریه دارد [5، 6، 7، 9 و 21 و 49]. شواهد پالئونتولوژیک استفاده شده در گذشته نیز اشاره به قرابت گندوانایی فونای یافت شده در رسوبات پالئوزوئیک ایران دارد. اما یافته‌های جدید بيواستراتيگرافي در سال‌های اخیر بیانگر قرابت و نزدیکی فونای پالئوزوئیک البرز و بعضی از مناطق ایران مرکزی با نواحی نظیر غرب اروپا و پلاتفرم روسیه دارد که در

گزارش شده در مناطق همچوار ایران، که مطالعات وسیع‌تری روی آن‌ها انجام شده، و معرف آب‌های گرم یا سرد می‌باشدند این ارتباط را مشخص نمود. فوزولینیدها موجودات پیشرفته، تکسلولی و دارای همزیسته‌های فتوسنتر کننده بودند که در کمربندهای معتدل-تروپیکال تا ساب تروپیکال پالئوژوئیک پسین (تا عرض‌های جغرافیایی  $35^{\circ}$ - $40^{\circ}$  جنوبی/شمالی) در داخل آب‌های کم‌عمق زندگی می‌کردند و در نهشته‌های کربناته و یا کربناته-تخریبی یافت می‌شوند. این گسترش پالئوژوگرافی، حساسیت آن‌ها را به محیط‌های رسوب‌گذاری نشان می‌دهد.

### توزیع و ترکیب فونای فوزولینید در نواحی مختلف ایران

فونای فوزولینید در زیر با توجه به ترکیب فونایی و توزیع چینه‌شناسی بررسی شده‌اند. تطابق رسوبات کربنیفر و پرمین در مناطق مختلف ایران بر مبنای فوزولینیدها در شکل ۱ نشان داده شده است.

### البرز

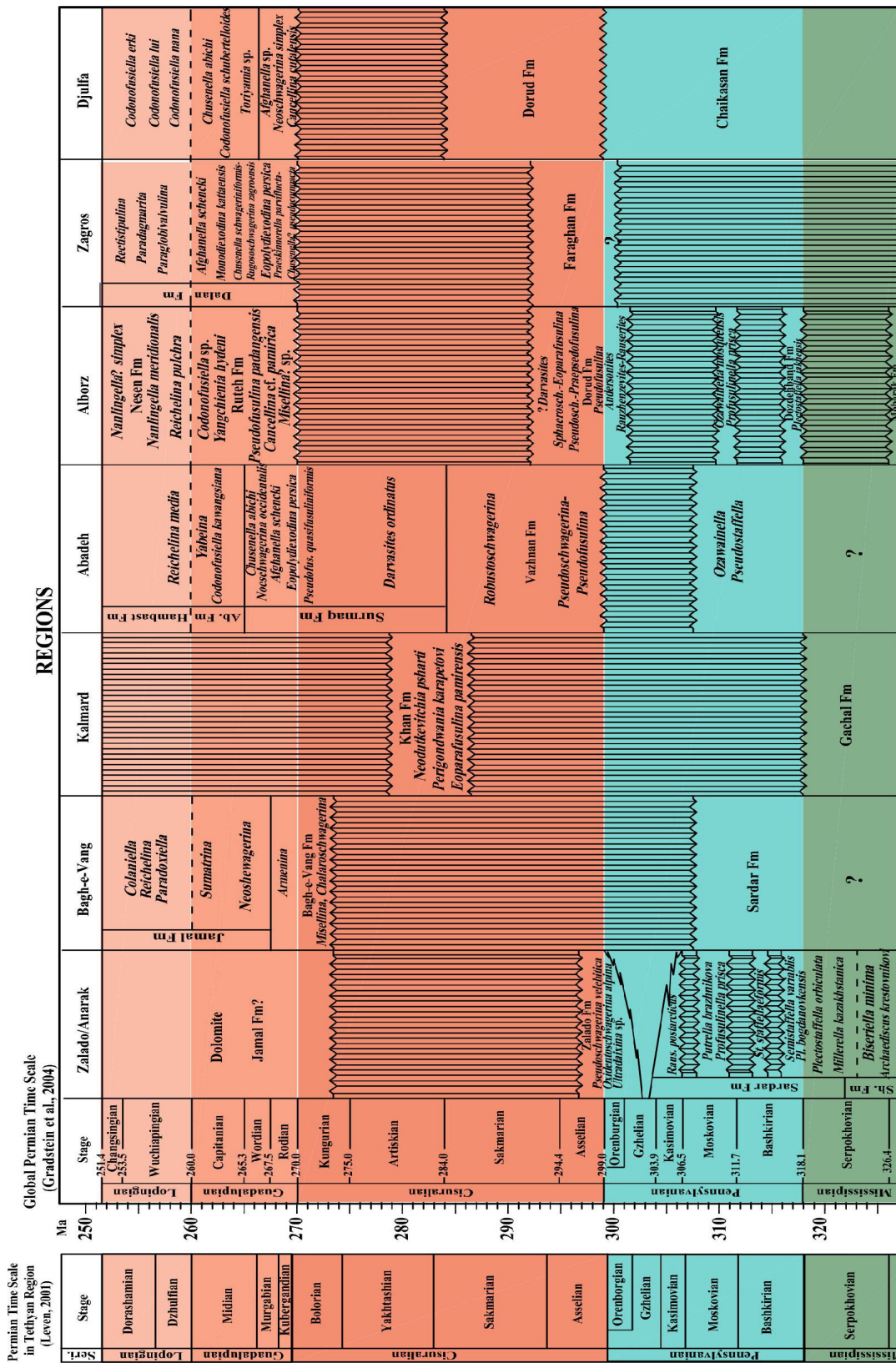
گانسر و هوبر (۱۹۶۲) در مجاورت دهکده نوده در ناحیه گرگان در البرز شرقی فوزولینیدهای *Fusulinella* sp. *Pseudostaffella* sp., *Ozawainella* sp., *Safonova* sp., *Quasifusulina* sp. و *Profusulinella* sp. در آهک‌های سازند نوده [۱۴] شناسایی و سن مسکووین زیرین را برای آن در نظر گرفتند [۱۹]. در توالی‌های کربناته به سن پنسیلوانین سازندهای با قرآباد و قزل‌قلعه در البرز شرقی، دو مجموعه فوزولینید شناسایی شده‌اند [۳۰ و ۴۴]. یکی از آن‌ها *Ozawainella tingi* و *Pulchrella* sp. به سن انتهای مسکووین بالایی و دیگری *eopolchra* sp. به سن کازیمووین میانی-بالایی یا گزلین است [۱۷] در مطالعه اخیر سازند قزل‌قلعه توسط گائیتانی و همکاران (۲۰۰۹) با توجه به حضور گونه‌های *Ozawainella mosquensis* Rauser-Chernosova نظری، *Pseudostaffella* (P.) *paracompressa* Safonova Taitchoella cf. (Rauzer-Chernosova) *Profusulinella prisca* (Deprat) *problirovichi* و *Profusulinella convolute* (Lee and Chen) در آهک‌های این سازند سن مسکووین زیرین را برای آن پیشنهاد نموده‌اند در البرز شرقی به دنبال سازندهای

و ایران مرکزی و سپس تفکیک فونای حاشیه تیس از حاشیه گندوانا به منظور تشخیص شرایط محیطی آب‌های گرم و سرد در زمان رسوب‌گذاری نهشته‌های کربنیفر و پرمین در این فاصله زمانی است. تفسیر مجدد اطلاعات قابل دسترس در ارتباط با توزیع فوزولینیدها در مناطق مختلف ایران، امکان تفکیک فونای فوزولینید با مشخصات حاشیه تیس و حاشیه گندوانا را فراهم می‌کند. فوزولینیدها بهترین گروه‌های مطالعه شده میکروفسیلی هستند که یک اساس قابل اعتماد برای تعیین سن و تطابق رسوبات دریایی در حد ناحیه‌ای تا جهانی هستند [۱۷]. این میکروفسیل‌ها به طور جهانی گسترده بودند و به سرعت تکامل یافته‌ند و به یک تنوع تاکسونومی بالا رسیدند. فوزولینیدها فرامینیفرهای بنتیک دارای زندگی همزیستی هستند که در شرایط آب‌های کم‌عمق کمتر از  $100$ - $150$  متر و آب‌های گرم بیشتر از  $14$ - $15$  درجه سانتی‌گراد زندگی می‌کنند و یکی از مهم‌ترین معرفه‌های آب و هوایی قدیمه و پالئوژوگرافی در کربنیفر و پرمین هستند [۲۶]. ناحیه حاشیه گندوانا در بین حاشیه شمالی گندوانا و حاشیه جنوبی پالئوتیس/نئوتیس قرار گرفته است [۵۳]. به لحاظ پالئونتولوژیک فونای با قربت حاشیه گندوانا نشان دهنده شرایط آب‌های خنک یا سرد می‌باشدند [۴۶] قلمرو حاشیه تیس نواحی وسیعی در جنوب و شمال پیشانی راندگی آلپی است [۵۵] و از لحاظ پالئونتولوژیک فونای قرار گرفته در این قلمرو نشان دهنده شرایط آب و هوایی گرم است [۳۳]. در این مقاله تعبیر و تفسیرها انجام گرفته در ارتباط با موقعیت مناطق مختلف ایران به ویژه در فاصله زمانی پرمین صرفاً بر اساس توزیع و گسترش فوزولینیدهای معرف آب‌های سرد و گرم صورت گرفته است. بدیهی است که برای نتیجه‌گیری‌های جامع‌تر نیاز به تلفیق داده‌های پالئوبیوژوگرافی فوزولینیدها با سایر اطلاعات زمین‌شناسی از جمله تکتونیک می‌باشد. اگرچه فوزولینیدهایی مانند *neoschwagerinids* و *verbeekinids* زمانی پرمین میانی به عنوان معرفه‌های آب‌های گرم در نظر گرفته می‌شوند ولی در مورد نهشته‌های کربنیفر ایران و چگونگی واستگی فوزولینیدهای موجود در آن‌ها با فونای فوزولینید حاشیه تیس و حاشیه گندوانا می‌توان از طریق مقایسه آن‌ها با فونای فوزولینید هم‌زمان

میانی)، *Sphaeroschwagerina-Eoparafusulina* (آسلین بالایی)، *Darvasites* (ساکمارین زیرین) می‌باشد [۱۸]. دو مجموعه فوزولینید اولی همانند مجموعه‌های شناسایی شده در قسمت بالایی سازند توبه است. این مسئله ثابت می‌کند که بعضی قسمتها از بخش قاعده‌ای سازند امارت با بخش بالایی سازند توبه تداخل بین انگشتی دارد و نشان می‌دهد که شروع رسوب‌گذاری کربناته گروه دورود در حوضه البرز مرکزی-شرقی همزمان نبوده است. در سازندهای قشنوی و شاه زید از گروه دورود مجموعه فوزولینیدی خاصی گزارش نشده است [۱۸]. در آهک-های سازند روته تنوع فوزولینیدها کم و فرامینیفرهای کوچک گسترش کمتری دارند. در دامنه‌های جنوبی البرز مرکزی فوزولینیدهای *Minojapanella elongata* Schubertella transitoria Fujimoto and Kanoma *Codonofusiella nana* Erk. Staff and Wedekind *Nankinella* و *Dunbarula mathieui* Ciry and Mathieu Lee orbicularia برای آن پیشنهاد شده است [۱۴، ۱۵]. در البرز شرقی در یک سوم زیرین سازند روته *Misselina?* sp. (که قبلاً *Armenina* گزارش شده بود [۲۸] و *Cancellina* cf. *Neoschwagerina* (که قبلاً *pamirica* Leven schuberti به سن مورگابین بالایی و میدین یافت شده‌اند [۱۷]) در بخش بالایی توالی کربناته سازند روته در البرز شرقی گونه‌های فوزولینید (*lange*) *Pseudofusulina padangensis* *Codonofusiella Yangchienia haydeni* Thompson میانی در بخش بالایی این سازند شناسایی شده است [۱۸]. در قاعده سازند روته یک نبود رسوبی شامل ساکمارین میانی-بالایی تا بلورین وجود دارد. سازند نسن در بخش زیرین عمدتاً شیلی با میان لایه‌های آهک مارنی و در بخش بالایی مشکل از سنگ آهک میکریتی است. در دامنه‌های جنوبی البرز سازند نسن یا رخمنون ندارد و یا ضخامت کمی را شامل می‌شود. فوزولینیدها در سازند Reichelina pulchra Miklukho-Maklay نسن بسیار کمیاب هستند و شامل *Nanlingella meridionalis* Rui and Sheng (دوراشامین) دوراشامین

باقرآباد و قزلقلعه سازند دورود قرار می‌گیرد که شامل فوزولینیدهای *Dixina* sp. و *Boultonia willsi* Lee در قاعده Dutkevichia complicate Schellwien و *Pseudoschwagerina* sp. *Alpingoschwagerina* sp. در بالا است که سن اورنبورگین بالایی و *Triticites* sp. آسلین را در این بخش از البرز محتمل می‌سازد. در دامنه‌های جنوبی البرز مرکزی سازند دورود با ناپیوستگی بر روی سازند آهکی مبارک قرار می‌گیرد و در بخش آهکی آن فوزولینیدهای *Pseudoschwagerina* sp. *Sakagami Parafusulina* sp. *Triticites* sp. *Schwagerina* sp. *Mesoschubertella* cf. *thompsoni* گزارش و سن آسلین تا ساکمارین برای آن در نظر گرفته شده است [۱۰، ۱۴]. در بخش‌های شمالی البرز مرکزی و شرقی گروه دورود [۲۹] انتهای کربنیفر تا ابتدای پرمین را در بر می‌گیرد و شامل سازندهای توبه، امارت، قشنوی و شاه زید است [۱۸]. سازند توبه عمدتاً تخریبی شامل کنگلومرای قاعده‌ای با میان لایه‌هایی از شیل و سیلتستون است و در بعضی مکان‌ها نظیر امارت، توبه و قشلاق دارای میان لایه‌های آهکی نیز می‌باشد. فوزولینیدهای سازند توبه فقط در مقطع امارت شناسایی شده‌اند و حاوی دو مجموعه فوزولینید است. اولین مجموعه *Ruzhenzevites-Rauserites* فوزولینیدهای این مجموعه به ویژه *Ruzhenzevites* ferganensis (Dutkevich) به هم‌چنین در بخش‌های بالایی سازند زلدو [۳۷] (که ابتدا به عنوان عضو زلدو از سازند سردر در نظر گرفته می‌شد [۳۵]) در ایران مرکزی شناسایی شده است، به انتهایی ترین بخش اشکوب گزلین نسبت داده می‌شود. دومین مجموعه فوزولینید در سازند *Andersonites* توبه است که به آخرین افقهای گزلین یا ابتدای اشکوب آسلین نسبت داده است [۱۸]. این جنس در ایران مرکزی نیز مشخص کننده همین سن است [۳۷]. سازند امارت برای بخش کربناته میانی گروه دورود انتخاب شده است و در آن شش مجموعه فوزولینید شناسایی شده‌اند که به ترتیب *Ruzhenzevites-Rauserites* (انتهایی ترین بخش اشکوب گزلین)، *Andersonites* (انتهایی ترین بخش اشکوب گزلین یا بخش‌های ابتدایی اشکوب آسلین)، *Praepseudofusulina* (آسلین زیرین)، *Pseudoschwagerina-Praepseudofusulina* آسلین

—دورا شامین) هستند [۱۸].



Armenina sp. .Cancellina cutalensis Leven Afghanella sp. Neoschwagerina simplex Ozawa Dunbarula simplex Han Sumatrina sp. آباده فوزولینیدهای C. Codonofusiella sp. Chusenella abichi schubertelloides Sheng (Miklokho-Maklay) Toriyamia sp. شناسایی و سن کوبر گندین-مورگابین برای سازندهای روته و سورمه و سن میدین برای سازندهای آباده در نظر گرفته شده است. رسوبات معادل میدین در منطقه آذربایجان وجود ندارد. با پیشروی مجدد دریای جلفین در منطقه آذربایجان رسوبات آهکی سازنده نسن بجا گذاشته می‌شود و در منطقه جلفا بدون وقفه در رسوبگذاری بر روی نهشتهداری سازنده آباده آهک‌های مارنی و شیلی بخش زیرین سازنده همبست بجا گذاشته می‌شوند. فوزولینیدهای یافت شده در این سازندها شامل C. erki C. lui Sheng.Codonofusiella nana Erk Rauser-Chernosova و سن جلفین به آن‌ها نسبت داده شده است. ادامه رسوبگذاری دریای پرمین در منطقه جلفا بخش بالایی سازنده همبست (شیل و آهک) را بجا می‌گذارد که بر اساس فونای آمونوئیدی موجود در آن سن دوراشامین را دارد [۲].

### شرق ایران مرکزی

در مجاورت شهر طبس در شرق ایران مرکزی رسوبات پنسیلوانین و سیزورالین سازنده سردر یک سکانس ضخیمی را تشکیل می‌دهند که عمدتاً تخریبی است ولی در بعضی مناطق رخمنوی دارای میان لایه‌های آهک ماسه‌ای نیز می‌باشد. سازنده سردر به واحدهای سردر ۱ به سن می‌سی‌سی‌بین و سردر ۲ به سن پنسیلوانین بالایی و سیزورالین زیرین تقسیم می‌شود. لون و طاهری (۲۰۰۳) بخش بالایی سازنده سردر در مقطع زلدو در کوه‌های ازبکوه را مورد بازبینی قرار دادند و بخش بالایی سازنده سردر را به عنوان بخش زلدو معروفی کردند [۳۵]. لیتولوزی قسمت پایینی این بخش تخریبی و قسمت بالایی آن کربناته با فوزولینیدهای فراوان است که در آن سه مجموعه راuserites- فوزولینید Ruzhenzevites-zalandensis- Ruzhenzevites Pseudoschwagerina Praepseudofusulina ikensis شناسایی و سن گزلین بالایی- آسلین به آن‌ها نسبت

### شمال‌غرب ایران

استپانوف و همکاران (۱۹۶۹) طبقات پرمین را در منطقه جلفا در کوه آلی باشی بررسی و این طبقات را به پنج واحد لیتواستراتیگرافی A تا E (لایه‌های حد واسط پرمی تریاس) تقسیم نموده‌اند که در قسمت راسی واحد B (معادل طبقات خاچیک ارمنستان) که متشکل از سنگ آهک خاکستری تیره با ندول‌های چرتی و میان لایه‌های چرتی است زون Codonofusiella-Reichelina را شناسایی کرده‌اند [۵۶]. در همین منطقه در مقطع گل فرج باغبانی (۱۳۷۵) در واحد زیرین سازنده سورمه (معادل طبقات گنیشک) (مورگابین Nankinella zone) میانی، در واحد بالایی سازنده سورمه (معادل طبقات Globivalvulina vonderschmitti zone) (مورگابین پسین) و در طبقات آهکی سازنده آباده (معادل با بخش راسی طبقات خاچیک) در بخش زیرین آن گونه Chusenella abichi (Miklukho-Maklay) شناسایی نمود [۱]. در مقطع گل فرج ارمنستان همبست (معادل طبقات جلفا در ارمنستان و واحدهای ۵-۷ طراز در ناحیه آباده) متشکل از سه واحد زیرین (آهک سیاه خاکستری)، میانی (آهک و مارن) و بالایی (آهک، آهک شیلی و مارن) است. در واحد زیرین آن زون Codonofusiella-Rectostipulina Reichelina دو سوم بخش زیرین واحد میانی زون media-Nanlingella [۱]. رسوبات پرمین در بخش اعظم آذربایجان از نظر سنگ‌شناسی و محتوای فسیلی با واحدهای همردیف خود در البرز مرکزی و غربی مشابه بوده و با نواحی ایران مرکزی و آباده تفاوت دارد. در حالی که رخمنون‌های پرمین در نواحی جلفا، زال (جنوب جلفا) و ایلانلو (غرب پلدشت) کمربند رسوبی مستقلی را با ناحیه آباده تشکیل می‌دهند [۲]. در مقاطع مطالعه شده در آذربایجان (قلعه چای (شرق عجب شیر)، آمد (شمال‌غرب تبریز) و سیاه باز (شمال خوی)) سازندهای دورود، روته و نسن و در برش‌های موجود در جلفا نظیر زال و ایلانلو (جنوب‌غرب پلدشت) سازندهای سورمه، آباده و همبست رخمنون دارند [۲]. در سازندهای سورمه و روته در مقاطع ذکر شده فوزولینیدهای Staffella sphaerica Nankinella orbicularia Neofusulinella sp. (Abich) Minojapanella elongate Fujimoto and Kanuma Lee

Pseudoschwagerina .paralatioralis Suleimanov Pseudoschwagerina sp. .uddeni (Beede et Kniker) Anderssonites ex gr. anderssoni (Schellwien) و است که برای آن‌ها سن آسلین پیشنهاد شده است. واحد ۶ سنگ آهک دولومیتی است که دارای فوزولینید معدودی است و به سازند جمال (قطعه تیپ) جنس در رسوبات کربناته سازند جمال (Neoschwagerina) Armenina شناسایی شده توسط جنی دشوسس (۱۹۸۳)) که شاخص کوبرگندین می‌باشد در یک سوم زیرین این سازند شناسایی شده است [۳۶]. عارفی فرد (۱۳۸۵) بایوزون‌های Armenina، Cancellina و Neoschwagerina simplex را در سازند جمال (قطعه تیپ) شناسایی و سن کوبرگندین تا مورگابین را برای این بایوزون‌ها پیشنهاد نمود [۳]. لون و وزیری مقدم (۲۰۰۴) در بررسی سازند جمال در مقطع باغ ونگ سه مجموعه فوزولینید را در این سازند معرفی کردند که شامل ۱) Misellina- (۲) Pamirina-Mesoschubertella Misellina- (۳) Chalaroschwagerina-Paraleeina می‌باشند [۳۶]. سن دو بایوزون اول بلورین و سن بایوزون سوم کوبرگندین زیرین در نظر گرفته شده است. در منطقه کلمرد در رسوبات آهکی بخش میانی سازند خان دو مجموعه فوزولینید Eoparafululina و Eoparafusulina به سن ساکمارین Perigondwania-Neodutkevitchia بالایی- یاختاشین زیرین شناسایی شده‌اند [۱۵]. لون و گرگیج (۲۰۰۷) مجموعه فوزولینید Pseudofusulina- Eoparafululina را به سن ساکمارین در این سازند گزارش کرده‌اند [۳۹].

### آباده

در مطالعات قبلی که در ناحیه آباده صورت گرفته این منطقه از لحاظ تکتونیکی جزء ایران مرکزی در نظر گرفته شده است. باگانی (۱۹۹۳) ناحیه آباده را از نظر ساختاری بخشی از جنوب ایران مرکزی می‌داند که شامل کمربند شهرضا-آباده-همبست بوده و به وسیله گسل-هایی از فرونشست گلخونی- ابرکوه در شمال شرق و کمربند دگرگونی یزد خواست- ده بید در جنوب غرب جدا می‌شود.

چینه‌های پرمین در ناحیه آباده در مقاطع دره همبست (شمال ده بید)، سورمق و معدن استکی (شمال آباده)

داده شد. توالی پنسیلوانین شرق ایران مرکزی تحت عنوان گروه سردر در دو مقطع زلدو و انارک توسط لون و همکاران (۲۰۰۶a) مطالعه شده است [۴۳]. در این بررسی گروه سردر که قبلاً سازند سردر نامیده می‌شد شامل دو سازند قلعه (غالباً کربناته) و سازند آبشنی (غالباً تخریبی یا تخریبی-کربناته) است. سازند قلعه (سردر ۱) به سن باشکیرین زیرین با فوزولینیدهای Eostaffella .Plectostaffella .Millerella .Eostaffellina Archaeodiscids Pseudostaffella Semistaffella متعدد شناسایی می‌شود. سازند آبشنی به سن بخش انتهایی مسکووین زیرین به وسیله فوزولینیدهای Putrella Neostaffella Aljutovella Profusulinella Fusiella و Mollerites مشخص می‌شود. فوزولینیدهای مسکووین بالایی که به طور ضعیفی حفظ شده‌اند در راس سکانس سازند آبشنی قرار دارند. نبود زمانی بین سازندهای قلعه و آبشنی باشکیرین بالایی تا ابتدای مسکووین است. در یک برش چینه‌شناسی واقع در جنوب شرق انارک نزدیک به راس کوه بند عبدالحسین یک سکانس کربناته با فوزولینیدهای گزلین وجود دارد که با ناپیوستگی بر روی سازند سردر قرار می‌گیرد و فوزولینیدهای آسلین محدود به بخش‌های پایانی این سکانس کربناته است [۳۷]. این توالی کربناته مركب از ۶ واحد می‌باشد. واحد ۱ (متشكل از شیل‌های ژیپسیفر با میان لایه‌هایی از سنگ آهک و ماسه‌سنگ) دارای Fusulinella .Neostaffella .Ozawainella و Beedina قابل شناسایی هستند و شاخص بخش‌های قاعده‌ای مسکووین بالایی هستند. واحد ۲ متشكل از سنگ آهک‌های با فوزولینید کم به سن مسکووین شامل Fusiella typica Lee et .Seminovella nana (Kireeva) Pseudostaffella aff. Iomovatica Manukalova-Chen Eoschubertella obscura procera و Grebenjuk (Rauser-Chernosova) فوزولینیدهایی است که شناسایی آن‌ها ممکن‌نیست. واحد ۴ یک سنگ آهک میکریتی حاوی فوزولینیدهای Ultradaixina bosbytaensis .Quasifusulina sp. .Rauserites infrequensis Leven .(Bensh) Daixina rugosa .Rishimbaji (Rosovskaya) Schellwiena delicate (Alksne) .Rosovskaya Parashwagerina primeava fortificata Rauser-Chernosova به سن گزلین است. سنگ آهک‌های واحد Rugosofusulina .Biwaella sp. ۵ حاوی فوزولینیدهای

کوبرگندین آغازی دارد [۴۱]. در مقطع اسدآباد در زون سنندج-سیرجان رسوبات تخریبی-کربناته مسکووین بر روی شیل‌های دارای میان لایه‌های ماسه‌سنگی (به سن احتمالی کربنیفر زیرین یا بالایی) با مرز گسله قرار می‌گیرند [۴۰]. رسوبات مسکووین به سه واحد تقسیم شده که در واحد ۱ (تناوب آهک و ماسه‌سنگ) سه *Pseudostaffella gorshyi* (۱) Neostaffella ozawai Neostaffella (۲) Putrella sp. Neostaffella ozawai Beedina ex gr. (۳) Putrella primaris umbiicata Citronites aff. B. bona anarakensis samarica به سن زیراشکوب کاشیرین از اشکوب مسکووین و در واحد ۲ (تناوب سنگ آهک و شیل) دو *Fusulinella* (M.) bdakensis (۴) *Fusulinella* (M.) aff. fluxa (F.) pseudobocki Beedina (۵) F. (F.) aff. *pseudobocki* به سن زیر Kamaina ex gr. Ozawai keltensis اشکوب پودولسکین از اشکوب مسکووین گزارش شده‌اند. واحد ۳ از رسوبات مسکووین در این برش مشکل از شیل با میان لایه‌های ماسه سنگی و فاقد فسیل است.

### زاگرس

ستودنه‌نیا (۱۹۷۳) در مطالعه سکانس پالئوزوئیک در زاگرس مرتفع در سنگ آهک‌های زیرین سازند دلان به حضور فوزولینیدهای Polydiexodina Staffellids و *persica* اشاره کرده است [۵۲]. در مطالعه چینه‌شناسی پرمین زاگرس دو مجموعه فسیلی A (متشكل از فوزولینیدهای *Schwagerina* sp. و *Afghanella* sp. (۶) و *Codonofusiella* sp. (۷) (متشكل از فوزولینیدهای *Reichelina* sp. (۸) در سازند دلان در کوه سورمه به سن گوادالوپین تا جلفین شناسایی شناصایی شده است [۵۷]. باغبانی (۱۹۹۷) در سازند دلان در کوه سورمه در سازند دلان در کوه دنا بایوزون‌های *Paleofusulina* و *Schwagerinidea* در اشتaran کوه و قالی کوه بایوزون‌های Eoverbeekina و *Neoschwagerina* Eopolydiexodina Presumatrina بر اساس فونای فوزولینید و فرامینیفرهای کوچک موجود در سازند دلان سن کوبرگندین تا دوراشامین را برای آن پیشنهاد نمود [۱۲].

توسط زمین‌شناسان متعددی مطالعه شده است [۱۱، ۱۲، ۳۱، ۳۲، ۵۸ و ۵۹]. طراز (۱۹۷۳) توالي پرمین در ناحیه آباده را به هفت واحد سنگی تقسیم نموده است [۵۹]. در مطالعه بعدی در این ناحیه واحدهای سنگی معرفی شده توسط طراز (۱۹۷۳) به عنوان سازندهای سورمق (واحدهای ۱، ۲ و ۳)، آباده (واحدهای ۴ و ۵) و همبست (واحدهای ۶ و ۷) معرفی شده‌اند [۲۵]. در سازند سورمق بیوزون‌های *Darvasites* *Pseudofusulina* *quasifusuliniformis* ordinatus *Neoschwagerina* *Cancellina* *Maklaya* *Misselina* *Afghanella* *Eopolydiexodina douglasii* simplex *Neoschwagerina occidentalis* schencki *Chusenella abichi* و *Neoschwagerina margarita* به سن یاختاشین تا مورگابین [۱۱ و ۲۵]، در سازند Discospirella *Sphaerulina* *Yabeina* و *Codonofusiella kawangsiana* میدین [۱۱، ۲۵]، و در بخش‌های قاعده‌ای و میانی واحد ۶ از سازند همبست بیوزون Reichelina media به سن جلفین [۲۵] گزارش شده‌اند. باغبانی (۱۹۹۳) در تنگ در چاله چینه‌های موجود در زیر سازند سورمق که مشکل از آهک، ماسه‌سنگ و شیل می‌باشد به عنوان سازند و زنان نامگذاری و دو بایوزون و *Pseudoschwagerina-Pseudofusulina* Robustoschwagerina به سن آسلین-ساکمارین را معرفی نموده است [۱۱]. سازند و زنان به طور ناهمشیب بر روی نهشته‌های کربناته- تخریبی دارای بایوزون Ozawainella mosquensis به سن کربنیفر زیرین- میانی قرار می‌گیرد. لون و گرگیج (۲۰۰۸) در مطالعه رسوبات بلورین و کوبرگندین در مقطع تنگ در چاله تنها فوزولینیدهایی به سن کوبرگندین نظیر Miselina Presumatrina Cancellina Armenina و *Neoschwagerina* را گزارش کرده‌اند [۴۱].

### زون سنندج-سیرجان

در مقطع کویز (شمال غرب سیرجان) در یک سکانس کاملاً کربناته دو مجموعه فوزولینید شناسایی شده که مجموعه زیرین به وسیله Skinnerella Paraleeina و Misellina اولیه مشخص می‌شود و سن بلورین دارد در حالی که Kubergandella Armenina و گونه‌های Yangchienia در مجموعه دومی ظاهر می‌شود و سن

مجموعه فونای آب گرم مربوط به تیس (حاشیه تیس) یکی از مشخصات غالب زون پالئوژن‌گرافی سیمرین است [۶۰]. قاره سیمرین بر اساس تنوع فونای فوزولینید و الگوی توزیع verbeekinids و neoschwagerinids بخش سیمرین تیسی غربی و سیمرین گندوانایی شرقی قابل تقسیم است [۶۰]. تنوع پایین فونای فوزولینید پرمن سیمرین شرقی در مقایسه با سیمرین غربی احتمالاً به دلیل ترتیب قرارگیری مایل قاره سیمرین به طرف استوای قدمی است. بنابراین قاره سیمرین غربی به قلمرو تیسی گرسیز نزدیکتر بوده است و به عبارت دیگر این بخش از قاره سیمرین در ابتدا نسبت به قسمت شرقی در عرض‌های جغرافیایی پایین‌تر جنوبی قرار گرفته بود. سیمرین شرقی گندوانایی احتمالاً در زون جنوبی معتدل گرم (یا احتمالاً نیمه گرسیز) قرار داشته و همین امر منجر به یک اختلاف قابل توجه در ترکیب و تنوع کلی فوزولینیدها بین قسمت شرقی و غربی قاره سیمرین در طول پرمن شده است [۶۰]. از طرف دیگر در مطالعه اخیر مشخص شده است که در قلمرو تیسی بلوک‌های نیز وجود دارند که دارای تنوع کم verbeekinids و neoschwagerinids آب‌های گرم در مقایسه با سایر بلوک‌های قلمرو نامبرده بوده و حاکی از قرار گرفتن در عرض‌های جغرافیایی نسبتاً بالاتر در قلمرو تیسی باشند که در مورد بلوک باوشان چین صدق می‌کند [۲۷]. تجزیه و تحلیل فونای فوزولینید کربنیفر بالایی و پرمن در ایران مرکزی (انارک و ازبکوه) و البرز نشان می‌دهد که این مناطق از بسیاری جهات به یکدیگر شبیه و در داخل یک حوضه قرار گرفته بودند [۱۸، ۳۵ و ۴۳]. این حوضه قابل مقایسه با حوضه‌های Taurus و Anatolia در غرب، آسیای مرکزی در شرق و حوضه‌های Donetes، پلاتفروم روسیه و اورال در شمال را دارد که در در حوضه حاشیه تیس گزارش شده‌اند. مطالعه فونای فوزولینید در ناحیه زون سنندج- سیرجان و آباده قرابت آن‌ها را با حوضه حاشیه تیس نشان می‌دهد [۳۱، ۳۲ و ۳۹]. اختلاف موجود در ارتباط با حضور فوزولینیدهای با تنوع کمتر در مناطق البرز و ایران مرکزی با فونای همزمان در سایر نواحی حاشیه گندوانا را می‌توان تا حدودی به مطالعات تاکسونومیک کامل‌تر در این نواحی نسبت داد. قرابت فونای فوزولینید البرز و ایران مرکزی با آباده کاملاً مشخص نیست. زیرا توالی رسوبات و

عارفی‌فرد (۱۳۸۹) بایوزون‌های Eopolydiexodina abichi و Parafusulina persica Afghanella schencki را در کربنات‌های زیرین سازند دالان شناسایی و سن کوبرگ‌دین تا میدین را برای این بخش از سازند دالان در نظر گرفته است [۴]. در مطالعه اخیر دیویداف و عارفی‌فرد (۲۰۱۳) بر روی سازند دالان در مقطع ایل‌بیک در زردکوه بختیاری ۵ بایوزون فوزولینیدار در دالان زیرین شناسایی شده‌اند که به Preaskinnerella parviflucta-Chusenella? Pseudocompacta (کوبرگ‌دین)، Eopolydiexodina persica (مورگ‌ای)، Chusenella schwagerinaeformis- (میرین-میانی)، Chusenella schwagerina zagroensis (مورگ‌ای) Monodiexodina kattaensis (میدین زیرین) و Afghanella schencki (میدین میانی و میدین زیرین) (میرین زیرین) و (میدین میانی و انتهایی) می‌باشند [۱۶].

**توزیع فونای فوزولینید حاشیه گندوانا و حاشیه تیس در ایران و ارتباط آن با سایر مناطق**

بر طبق نظر شنگور (۱۹۸۴) قاره سیمرین یک نوار قاره‌ای طویل و باریک که متشكل از قطعات قاره‌ای کوچک (کوچک قاره‌ها یا بلوک‌ها) است که از ترکیه تا سوماترا از میان مأواه قفقاز، ایران مرکزی، جنوب افغانستان، جنوب پامیر، کاراکوروم، تبت، غرب Yunnan، ایالت Shan در برمه، تایلند غربی و شبه جزیره تایلند توزیع شده‌اند [۴۷، ۴۹ و ۵۱]. این قاره در طی پرمن آغازی از حاشیه گندوانا جدا شد و در طی پرمن میانی و پسین به سمت شمال حرکت کرد و نهایتاً در تریاس آغازی با حاشیه جنوبی اورازیا برخورد نموده است [۲۳]. در طی پرمن فونای دریایی ویژه‌ای در اطراف قاره سیمرین گسترش یافت که یک ناحیه حدواسط به لحاظ پالئوژن‌گرافی را بین قلمرو تیسی گرسیز استوایی و قلمرو گندوانایی سرد (خنک) عرض‌های جغرافیایی بالای را تشکیل می‌داد [۶۰]. این زون پالئوژن‌گرافیک (زون حد واسط جنوبی) در فونای برآکیوود پرمن به خوبی شناسایی شده است [۵۴] ناحیه سیمرین به وسیله مخلوطی از تاکسون‌های تیسی و گندوانایی مشخص می‌شود. تغییر در طول زمان پرمن از مجموعه‌های فونای آب سرد (خنک) مربوط به گندوانا (حاشیه گندوانا) به

اغلب اوقات سطح آب سرد بوده و توزیع و پراکندگی فوزولینیدها محدود به دوره‌های نسبتاً کوتاه مدت می‌شده است یعنی زمانی که درجه حرارت آب‌های کم عمق به حد مطلوب و قابل قبول برای گسترش فوزولینیدها می‌رسیده است. *Staffellids*, *Schubertellids*, *Monodioxodina*, *Eopolydiexodina* و *Chusenelids* مجموعه فونای فوزولینید کوبرگندین تا میدین زیرین و معرف انتقال از وضعیت آب‌های معتدل به آب‌های گرم می‌باشند. در زمان میدین میانی و انتهایی اولین حضور *verbeekinids* (با دو جنس و یک گونه) که تنوع تاکسونومیک بسیار پایینی دارند مشخص می‌گردد که با قطعیت می‌توان گفت شرایط آب هوای گرم در یک زمان کوتاه را در منطقه زاگرس نشان می‌دهد. بنابراین از کوبرگندین تا حداقل میدین میانی زاگرس در داخل کمربند آب و هوایی معتدل قرار داشته یعنی  $35^{\circ}$ - $40^{\circ}$  جنوبی و تنها در میدین میانی- انتهایی این منطقه به استوا نزدیک‌تر شده و با این وجود در داخل یک زون انتقالی نیمه گرمسیری/گرمسیری ( $30^{\circ}$ - $35^{\circ}$  جنوبی) قرار داشته است [۱۶].

سوسیدانس گرمایی یاختاشین- بلورین پلیت عربی همزمان با شروع رسوب‌گذاری دریایی در ناحیه آباده بوده است. در حدود ۱۲ افق فوزولیندار در فاصله زمانی کوبرگندین تا مورگابین در آباده گزارش شده است که در بین آن‌ها ۵ افق دارای *verbeekinid* است. در میدین زیرین در آباده مجموعه‌های فوزولینیدی *chusenellid* و *neoschwagerinids* غالب است ولی *verbeekinids* کمی در این فاصله در آباده شناسایی شده است. در چینه‌های میدین انتهایی *Yabeina* و *Metadololina* از مقطع همبست در آباده شناسایی شده‌اند. داده‌های مربوط به فوزولینیدهای موجود در ناحیه آباده نشان دهنده این است که در طی زمان کوبرگندین تا میدین زیرین ناحیه آباده در داخل زون نیمه گرمسیری با درجه حرارت مطلوب برای پیدایش *verbeekinids* قرار گرفته بود و شواهد آن تنوع محدود و تعداد کم تاکسون‌ها می‌باشد که متأثر از بالا نبودن زیاد درجه حرارت آب‌های سطحی احتمالاً ( $20^{\circ}$  -  $25^{\circ}$  سانتی‌گراد) است.

به نظر می‌رسد که البرز همراه با ایران مرکزی و آباده از زمان پنسیلوانین به دلیل دارا بودن عناصر رسوبگذاری و پالئوبیولوژیکی متفاوت از حاشیه غیر فعال عربی گندوانا

فونای گزارش شده در ناحیه آباده کامل‌تر و با تنوع بیشتری است [۱۱، ۲۵، ۳۰ و ۴۲]. اگرچه روزنبران فوزولینیدی وابسته به *vebeekinids* و *neoschwagerinids* از کمترین تنوع برخوردارند ولی حضور گونه‌هایی از این روزنبران در سازندهای پرمین این نواحی دال بر وابستگی آن‌ها به حاشیه تیس و شرایط آب‌های گرم محسوب می‌شود. در مقایسه با ناحیه آباده در ایران به نظر می‌رسد که البرز و آذربایجان در قلمرو تیسی در عرض‌های جغرافیایی بالاتری در زمان پرمین قرار گرفته بودند و ناحیه آباده بیشترین نزدیکی را به خط استوا در مقایسه با سایر نواحی ایران در طی پرمین داشته است. نظیر چنین وضعیتی در بلوك Baoshan در چین گزارش شده است [۲۷].

لون و گرگیج (۲۰۰۶b) پیشنهاد کردند که وابستگی ناحیه آباده به ایران مرکزی بحث برانگیز است و دلیل آن این است که ویژگی‌های بايو فاسیس رسوبات پرمین بالایی این نواحی دلالت بر تشابه بیشتر آن‌ها با رسوبات همزمان در زاگرس را دارد [۳۸]. مطالعه اخیر بر روی سازندهای دالان و بررسی دقیق فونای فوزولینید آن حاکی از این است که ناحیه زاگرس در سیزورالین (Cisuralian) پسین و گوادالپین آغازی از نواحی آباده و جلفا جدا بوده است [۴]. نواحی آباده و جلفا از زمان یاختاشین در شرایط آب‌های گرم قرار داشته اند در صورتی که تقریباً تا آغاز میدین زاگرس در شرایط آب‌های سرد یا خنک قرار داشته است. این مسئله حاکی از این است که تنوع فونای فوزولینیدی آب‌های گرم با قربت حاشیه تیسی در ناحیه زاگرس در مقایسه با جلفا و آباده کمتر بوده و احتمالاً این ناحیه در عرض‌های جغرافیایی بالاتری در قلمرو تیسی قرار داشته است. بر اساس مطالعه جدید دیوبداف و عارفی‌فرد (۲۰۱۳) بر روی سازندهای دالان در زردکوه بختیاری افق‌های حاوی فوزولینید در زاگرس کاملاً نازک هستند و بنابراین حضور و پیدایش فوزولینیدها در ناحیه زاگرس نسبتاً کوتاه مدت بوده است. این لایه‌های فوزولینید در تنابع با لایه‌های فاقد فوزولینید قرار می‌گیرند. داده‌های به دست آمده از توزیع و حضور فوزولینیدها در سازندهای دالان حاکی از قرار گرفتن زاگرس در داخل زون آب و هوایی معتدل و یا گرم تا معتدل در پرمین میانی است. در این فاصله زمانی در

(neoschwagerinids) و تنوع کلی آن‌ها در مناطق مختلف ایران دو مجموعه فوزولینیدی با قرابت تیسی و گندوانایی قابل تشخیص می‌باشد.

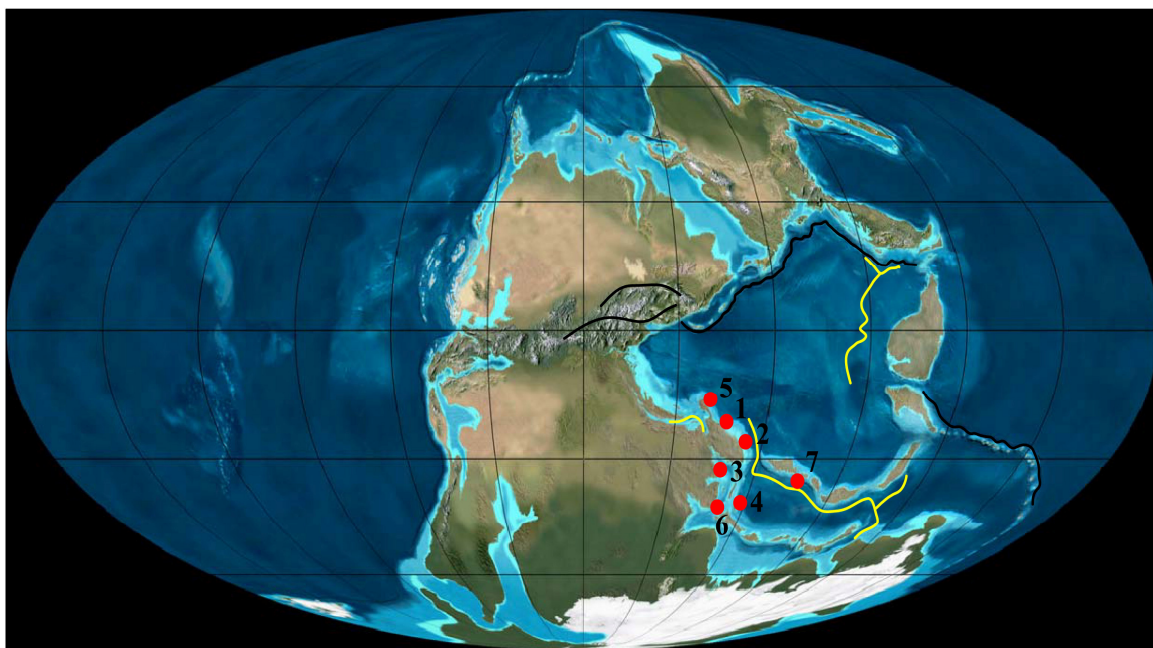
۲- مناطق البرز، قسمت اعظم ایران مرکزی، آباده و جلفا به دلیل دارا بودن فوزولینیدهای verbeekinids و neoschwagerinids در قلمرو تیسی قرار داشته‌اند. در ناحیه جلفا و آباده این تنوع در مقایسه با البرز و ایران مرکزی بیشتر بوده و حاکی از قرارگیری آن‌ها در عرض‌های جغرافیایی پایین‌تر در قلمرو تیسی در مقایسه با البرز و ایران مرکزی می‌باشد.

۳- منطقه کلمرد در ایران مرکزی با دارا بودن فونای فوزولینید آبهای سرد یا خنک که مربوط به عرض‌های جغرافیایی بالا است دارای قرابت حاشیه گندوانایی است. منطقه زاگرس در فاصله زمانی کورگندین تا میدین زیرین در یک کمریند آب و هوایی معتدل بوده و تنها در میدین میانی- انتهایی این منطقه به استوا نزدیک‌تر شده است. بنابراین منطقه زاگرس در مقایسه با منطقه جلفا و آباده در فاصله زمانی پرمین میانی در عرض‌های جغرافیایی بالاتری در قلمرو تیسی قرار داشته است.

مجزا بوده‌اند و بیش‌تر به سمت استوا قرار گرفته بودند. در طی زمان پنسیلوانین و پرمین آغازی البرز و بخش اعظم ایران مرکزی در یک موقعیت نیمه گرمسیری در نیمکره جنوبی قرار داشته که ضمن عبور از یک مرحله خشک گرمسیری در اواخر پرمین آغازی در طی پرمین میانی به ویژه انتهایی به عرض‌های جغرافیایی استوایی نزدیک شده‌اند [۱۸]. دیویداف و عارفی فرد (۲۰۰۷) فونای فوزولینیدی را در سازند خان در ناحیه کلمرد شناسایی کردند که دارای قرابت با فونای حاشیه گندوانا است و حاکی از یک زون حدوداست جنوبی با شرایط آبهای خنک است. فونای فوزولینید یافت شده در سازند خان همچنین در جنوب تبت، شرق هندوکش، کاراکوروم، افغانستان جنوبی و مرکزی، پامیر مرکزی و عمان نیز گزارش شده و دلالت بر زون آنتی تربیکال جنوبی دارد [۱۵]. در شکل ۲ پالتوژئوگرافی مناطق مختلف ایران و نواحی مجاور بر اساس دارا بودن فونای فوزولینید با قرابت حاشیه گندوانایی و حاشیه تیسی در زمان پرمین (به ویژه پرمین میانی) نشان داده شده است.

#### نتیجه‌گیری

- بر اساس حضور یا عدم حضور فونای فوزولینید شاخص آبهای گرم تیسی (verbeekinids) و



شکل ۲. موقعیت پالتوژئوگرافی تقریبی مناطق مختلف ایران در طی پرمین میانی بر اساس دارابودن فونای فوزولینید (اقتباس از [۱۳، ۱۴ و ۱۵]؛ ۱- آباده و جلفا- ۲- البرز و ایران مرکزی- ۳- زاگرس- ۴- کلمرد- ۵- ماوراء قفقاز- ۶- عمان- ۷- بلوک کوانگتانگ (شامل جنوب تبت، شرق هندوکش، کاراکوروم و جنوب افغانستان).

- Rivista Italiana di Paleontologia e Stratigrafia, 69, 503–543.
- [11] Baghbani, D (1993) The Permian sequence in the Abadeh region, central Iran. Contributions to Eurasian Geology, Occasional Publications, Earth Sciences Research Institute, University of South Carolina, 9B, 7-22.
- [12] Baghbani, D (1997) Correlation charts of selected Permian strata from Iran. *Permophiles*, 30, 24-25.
- [13] Boulin, J (1988) Hercynian and Eocimmerian events in Afghanistan and adjoining regions. *Tectonophysics*, 148, 253-278.
- [14] Blakey, R.C (1996) Permian eolian deposits, sequences, and sequence boundaries, Colorado Plateau. In: Longman M.W., and Sonnenfeld, M.D. (Eds), *Paleozoic Systems of the Rocky Mountain Region: Rocky Mountain Section SEPM*, 405-426.
- [15] Bozorgnia, F (1973) Paleozoic foraminiferal biostratigraphy of Central and East Alborz mountains, Iran. NIOC, Geol. Lab. Pub., 185 p.
- [16] Davydov, V.I., and Arefifard, S (2007) Permian Fusulinid Fauna of Peri-Gondwanan Affinity from the Kalmard Region, East-central Iran and its Significance for Tectonics and Paleogeography. *Palaentologia Electronica*, 10, (2), 10A:40 p.
- [17] Davydov, V.I., S. Arefifard (2013) Middle Permian (Guadalupian) fusulinid taxonomy and biostratigraphy of the mid-latitude Dalan Basin, Zagros, Iran and their applications in paleoclimate dynamics and paleogeography, *GeoArabia*, 18, (2), 17-62.
- [18] Davydov, V.I., and Leven, E.Ja (2003) Correlation of Upper Carboniferous (Pennsylvanian) and Lower Permian (Cisuralian) marine deposits of the PeriTethys, *Palaeo*, 196, 39-57.
- [19] Gaetani, M., Angiolini, L., Ueno, K., Nicora, A., Stephenson, M.H., Sciunnach, D., Rettori, R., Price, G.D., and Sabouri, J (2009) Pennsylvanian-Early Triassic stratigraphy in the Alborz Mountains (Iran)., Brunet, M.F., Wilmsen, M., and Granath, J.W. (Eds.), In: *South Caspian to Central Iran Basins Spec. Publ. Geol.Soc. London*, 312, 79-128.
- [20] Gansser, A., and Huber, H (1962) Geological observations in the Central Elburz, Iran. *Schweizerische Mineralogische und Petrographische Mitteilungen*, 42, (2), 583-630.
- [21] Ghavidel-syooki, M (1993) Palynological study of Palaeozoic sediments of the Chal-i-Sheh area southwestern Iran, *J. Sci. R. Iran*, 4, (1), 32-46.
- [22] Goncuoglu, M.C., and Kozlu, H (2000) Early Paleozoic Evolution of the NW

## منابع

- [۱] باغبانی، د (۱۳۷۵) لیتواستراتیگرافی و باپواستراتیگرافی نواحی آباده، شهرضا و جلفا. پایان نامه دکترا، دانشگاه آزاد اسلامی، ۱۶۸ صفحه.
- [۲] شعبانیان، ر، خسروتهرانی، خ، و موسمنی، ا (۱۳۸۶) چینه‌شناسی و دیرینه‌شناسی واحدهای سنگی پرمین در شمال غرب ایران. مجله علوم زمین، شماره ۶۳، سال شانزدهم، ۱-۱۲.
- [۳] عارفی‌فرد، س (۱۳۸۵) مطالعه میکروبیو استراتیگرافی و میکروفاسیس‌های زمین‌های پرمین در مناطق کلمرد، شتری و شیرگشت (ایران مرکزی)، پایان نامه دکترا، دانشگاه شهید بهشتی، ۲۵۲ صفحه.
- [۴] عارفی‌فرد، س (۱۳۸۹) میکروبیو استراتیگرافی، میکروفاسیس و تکتونیک رسوبات پرمین در زردکوه بختیاری، غرب شهرکرد، طرح پژوهشی، دانشگاه لرستان، ۳۹ صفحه.
- [۵] Ahmad, S., Ahmad, I., and Irfan Khan, M (2005) Structure and Stratigraphy of the Paleozoic and Mesozoic Sequence in the Vicinity of Zaluch Nala, Western Salt Range, Punjab Pakistan, *Pakistan Journal of Hydrocarbon Research*, 15, 1-8.
- [۶] Alsharhan, A.S., and Kendall, C.G.St.C (1986) Precambrian to Jurassic rocks of the Arabian Gulf and adjacent areas: their facies, depositional setting and hydrocarbon habitat. *American Association of Petroleum Geologists Bulletin*, U.S.A., 70, 977-1002.
- [۷] Alsharhan, A.S. and Nairn, A.E.M (1995) Stratigraphy and sedimentology of the Permian in Arabian Basin and adjacent areas: A critical review. In: Scholle, P.A., Peryt, T.M., and Ulmer-Scholle, D.S. (Eds.), *The Permian of Northern Pangea: Volume 2- Sedimentary Basins and Economic Resources*, Springer-Verlag, New York, 187-214.
- [۸] Angiolini, L., Gaetani, M., Muttoni, G., Stephenson, M.H., Zanchi, A (2007) The biotic affinity of N Iran during Carboniferous-Early Permian times: was N Iran in the peri-Gondwanan fringe? *Geophysical Research Abstracts*, 9, European Geosciences Union.
- [۹] Armstrong, H.A., Abbott, G.D., Turner, B.R., Makhlof, I.M., Muhammad, A.B., Pedentchouk, N., Peters, H (2009) Black shale deposition in an Upper Ordovician-Silurian permanently stratified, peri-glacial basin, southern Jordan, *Palaeogeography, Palaeoclimatology, Palaeoecology*, 273, 368-377.
- [۱۰] Assereto, R (1963) The Paleozoic formations in Central Elburz (Iran) (Preliminary note).

- [34] Leven, E.J (1997) Permian stratigraphy and Fusulinida of Afghanistan with their paleogeographic and paleotectonic implications. Geological Society of America, Special Paper, 316, 1-133.
- [35] Leven, E.Ja (2001) On possibility of using the global Permian stage scale in the Tethyan region. Stratigraphy and Geological Correlation, 9, 2, 118-131.
- [36] Leven, E.Ja., and Taheri, A (2003) Carboniferous-Permian stratigraphy and fusulinids of East Iran. Gzhelian and Asselian deposits of the Ozbak-Kuh region. Rivista Italiano di Paleontologia Stratigrafia, 109, (3), 21-38.
- [37] Leven, E.Ja., and Vaziri Moghaddam, H (2004) Carboniferous-Permian stratigraphy and fusulinids of eastern Iran. The Permian in the Bagh-e- Vang section (Shirgesht area), Rivista Italiano di Paleontologia Stratigrafia, 110, (2), 441-465.
- [38] Leven, E.Ja., and Gorgij, M.H (2006a) Gzhelian Fusulinids First Discovered in Central Iran. Stratigraphy and Geological Correlation, 14, (1), 19-29.
- [39] Leven, E.Ja., and Gorgij, M.H (2006b) Upper Carboniferous-Permian stratigraphy and fusulinids from the Anarak region, central Iran, Russian Journal of Earth Sciences, 8, 1-25.
- [40] Leven, E.Ja., and Gorgij, M.N (2007) Fusulinids of the Khan formation (Kalmard region, eastern Iran) and some problems of their paleobiogeography, Russian Journal of Earth Sciences, 9, 1-10.
- [41] Leven, E.Ja., and Gorgij, M.N (2008a) New Fusulinids of the Moscovian Stage Found in Iran, Stratigraphy and Geological Correlation, 16, (4), 383-399.
- [42] Leven, E.Ja., and Gorgij, M.N (2008b) Bolorian and Kubergandian stages of the Permian in the Sanandaj-Sirjan zone, Iran. Stratigraphy and Geological Correlation, 16, (5), 455-466.
- [43] Leven, E.Ja., and Gorgij, M.N (2009) Section of Permian Deposits and Fusulinids in the Halvan Mountains, Yazd Province, Central Iran, Stratigraphy and Geological Correlation, 17, (2), 155-172.
- [44] Leven, E.Ja., Davydov, V.I., and Gorgij, M.N (2006) Pennsylvanian stratigraphy and fusulinids of Central and Eastern Iran, Palaeontologia Electronica, 9, (1), 1A, 36 p.
- [45] Lys, M (1988) Biostratigraphie du carbonifère et du Permien en Mesogee. Document BRGM, 147, 315 p.
- [46] Mahdavi, M., and Vaziri, S.H (2010) Lithostratigraphy and Microbiostratigraphy of the Ruteh Formation in Northwest of Gondwanaland: Data from Southern Turkey and Surrounding Regions, Gondwana Research, 3, (3), 315-324.
- [23] Gradstein, F., Ogg, J., and Smith, A (2004) A geological Time Scale, Cambridge University Press, Cambridge, 589 p.
- [24] Grunt, T.A., and Shi, G.R (1997) A hierarchical framework of Permian global marine biogeography. In: Jin, Y.G., and Dineley, D., (Eds.), Proceedings of the 30th International Geological Congress, Beijing, China, 12, Palaeontology and Historical Geology. VSP, Utrecht, 2-17.
- [25] Insalaco, E., Virgone, A., Courme, B., Gaillot, J., Kamali, M., Moallemi, A., Lotfpour, M., and Monibi, S (2006) Upper Dalan Member and Kangan Formation between the Zagros Mountains and offshore Fars, Iran, depositional system, biostratigraphy and stratigraphic architecture. GeoArabia, 11, 2, 75-176.
- [26] Iranian-Japanese Research Group (1981) The Permian and the Lower Triassic Systems in Abadeh region, central Iran: Memoirs of the Faculty of Science. Kyoto University, Series Geology and Mineralogy, 47, 61-133.
- [27] Hohenegger, J (2004) Depth coenoclines and environmental considerations of western Pacific larger Foraminifera. Journal of Foraminiferal Research, 34, (1), 9-33.
- [28] Huang, H., Jin, X., Shi, Y., and Yang, X (2009) Middle Permian western Tethyan fusulinids from southern Baoshan Block, western Yunnan, China. Journal of Paleontology, 82, (6), 880-896.
- [29] Jenny-Deshusses, C (1983) Le Permian de l' Elborz Central et Oriental (Iran): Stratigraphie et micropaleontology (Foraminifères et Algues), These no.2130, Univ. de Genève, Section des sciences de la terre, 265 p., Genève.
- [30] Jenny, J., and Stampfli, G (1978) Lithostratigraphie du Permien de l'Elbourz oriental en Iran. Eclogae Geologiae Helvetiae, 71, 551-580.
- [31] Kahler, F (1978) Fusuliniden-Faunen auf Chios, Kalymnos und Kos in der Agais. Mitt. österr. Geol. Ges., 80, 287-323.
- [32] Kobayashi, F., and Ishii, K.-I (2003a) Paleobiogeographic analysis of Yahtashian to Midian fusulinacean faunas of the Surmaq Formation in the Abadeh region, central Iran. Journal of Foraminiferal Research, 33, (2), 155-165.
- [33] Kobayashi, F., and Ishii, K.-I (2003b) Permian fusulinacean of the Surmaq Formation in the Abadeh region, central Iran. Rivista Italiano di Paleontologia Stratigrafia 109, (2), 307-337.

- PeriTethyan domain, *Episodes*, 24, (4), 222-228.
- [57] Stepanov, D.L., Golshani, F., & Stocklin, J (1969) Upper Permian and Permian-Triassic Boundary in North Iran. Geological Survey of Iran, Report No. 12, 1-72.
- [58] Szabo, F., and Keradpir, A (1978) Permian and Triassic stratigraphy Zagros Basin, southwest Iran. *Jounal of Petroleum Geology*, 1, 57-82.
- [59] Taraz, H (1969) Permo-Triassic section in central Iran: The American Association of Petroleum Geologists, *Bulletin*, 53, 688-693.
- [60] Taraz, H (1974) Geology of the Surmaq-Deh Bid area, Abadeh region, central Iran. *Rep. Geol. Surv. Iran*, 37, 1-148.
- [61] Ueno, K (2003) The Permian fusulinoidean faunas of the Sibumasu and Baoshan blocks; their implications for the paleogeographic and paleoclimatologic reconstruction of the Cimmerian continent. *Palaeogeography, Palaeoclimatology, Palaeoecology*, 193, (1), 1-24.
- [62] Ueno, K (2006) The Permian antitropical fusulinoidean genus Monodexodina: Distribution, taxonomy, paleobiogeography and paleoecology, *Journal of Asian Earth Sciences*, 26, 380-404.
- [63] Webster, G.D., Maples, C.G., Mawson, R. and Dastanpour, M (2003) A cladid dominated Early Mississippian crinoid and conodont fauna from Kerman Province, Iran and revision of the Glossocrinids and Rhenocrinids. *The Palaeontological Society Memoir*, 60, 1-36. Supplement to *Journal of Palaeontology*, 77, (3).
- Khur, Central Alborz, Iran, *Journal of Sciences, Islamic Republic of Iran* 21, (3), 237-250.
- [47] Mei, S.L., and Henderson, C.M (2002) Comments on some Permian conodont faunas reported from Southeast Asia and adjacent areas and their global correlation. *Journal of Asian Earth Sciences*, 20, 599-608.
- [48] Metcalfe, I., 1999. Gondwana dispersion and Asian accretion: an overview. In: Metcalfe, I. (Ed.), *Gondwana Dispersion and Asian Accretion (IGCP 321 Final Results Volume)*. Balkema, Rotterdam, 9-28.
- [49] Mistiaen, B., Ggholamalian, H., Ggourvennec, R., Plusquellec, R.Y., Bigey, F., Brice, D., Feist, M., Feist, R., Ghobadipour, M., Kebriaee, M., Milhau, B., Nicollin, J.-P., Rohart, J.-C., Vachard, D., & Yazdi, M (2000) Preliminary data on the Upper Devonian (Frasnian, Famennian) and Permian fauna and flora from the Chariseh area (Esfahan province, central Iran). *Annales de la Société Géologique du Nord, 2 Serie*, 8, 93-102.
- [50] Muttoni, G., Gaetani, M., Kent, D.V., Sciunnach, D., Angiolini, L., Berra, F., Garzanti, E., Mattei, M., and Zanchi, A (2009) Opening of the Neo-Tethys Ocean and the Pangea B to Pangea A transformation during the Permian, *GeoArabia*, 14, 4, 1-32.
- [51] Myrow, P.M., Hughes, N.C., Searle, M.P., Fanning, C.M., Peng, S.-C., Parcha, S.K., (2009) Stratigraphic correlation of Cambrian-Ordovician deposits along the Himalaya: implications for the age and nature of rocks in the Mount Everest region. *Geological Society of America Bulletin*, 121, 323-332.
- [52] Sengör, A.M.C (1984) The Cimmeride orogenic system and the tectonics of Eurasia. *Geol. Soc. Am. Spec. Pap.*, 195, 1-82.
- [53] Setudehnia, A (1973) The Paleozoic sequence at Zard Kuh and Kuh-e Dinar. *Bulletin of Iranian Petroleum Institute*, 60, 16-33.
- [54] Shen, S.-Z., Zhang, H., Shang, Q.H., Li, W.-Z (2006) Permian stratigraphy and correlation of Northeast China: A review. *Journal of Asian Earth Sciences*, 26, 304-326.
- [55] Shi, G.R., and Archbold, N.W (1998) Permian marine biogeography of SE Asia. In: Hall, R., and Holloway, J.D., (Eds.), *Biogeography and Geological Evolution of SE Asia*, 57-72.
- [56] Stampfli, G.M., Borel, G.D., Cavazza, W., Mosar, J., and Ziegler, P.A (2001) Palaeotectonic and palaeogeographic evolution of the western Tethys and